

مقارنة بين مميزات الحفقات الغازية المبردة بالهواء والبخار

الدكتور عبداللـه مرعشـلي
مدرس في كلية الهندية الميكانيكية والكهربائية
جامعة تشرين

تمت دراسة نظرية لمميزات محطة غازية ذات شفرات مبردة بالهواء أو البخار ومن ثم اجراء مقارنة بين الاستطاعة والمردود في الحالتين وذلك باستخدام طريقة حديثة لذلك. تم حساب العمل الذي تعطيه المحطة غير المبردة والمبردة بالهواء وايجاد الفرق بين العملين في المجال (1270_ 1500K) وبنفس الطريقة تم ايجاد المردود وقد وجد نتيجة لذلك أن سحب 1% من الهواء للتبريد بسبب زيادة في استهلاك الوقود قدره 0.52% ونقصان في الاستطاعة قدره 1.3% .

وفي القسم الثاني تمت دراسة عملية التبريد ببخار الماء على مميزات المحطة وقد تبين أن استبدال 1% من الهواء بالبخار يوفر زيادة في الاستطاعة قدرها 1.85% وزيادة في المردود قدرها 0.87%....

تؤمن هذه الدراسة امكانية مباشرة لتقدير تأثير التبريد بالهواء والبخار على مميزات المحطة دون اجراء دراسة تفصيلية لمنظومة التبريد. كما تشير الى فعالية استبدال الهواء بالبخار بهدف تحسين عملية التبريد وامكانية رفع درجة حرارة الغازات قبل الضغفة بغية زيادة الاستطاعة.

المقدمة،

به. تمكن تلك العلاقات من تقدير تأثير عملية التبريد دون اجراء حسابات تفصيلية لمنظومة التبريد وهذا ما يجعل للبحث أهمية خاصة تتجلى في المراحل الأولى للتصميم عندما تتولد الحاجة الى تحديد الأبعاد الرئيسية لمنظومة التبريد.

للحصول على العلاقات المطلوبة يتم حساب العمل والمردود الذي تعطيه المحطة غير المبرد. ومن ثم ايجاد الفرق بينهما نسبة الى مميزات المحطة الغير مبردة وبنفس الطريقة يتم حساب ذلك نسبة للبخار بعد استبدال الهواء به.

ان الأسباب المذكورة أعلاه دعت الباحثين الى التفتيش عن وسائط أخرى للتبريد لا تؤثر سلبا على أداء المحطة وفعاليتها. وقد وجد أنه من الممكن استعمال الماء أو بخار الماء لما يتمتعان به من مميزات فيزوحرارية جيدة.

ولكن استعمال الماء يسبب تعقيدا كبيرا في تصميم المحطة وهذا غير مرغوب فيه بالنسبة للعنفات. أما بخار الماء فيشكل حلا وسطا بين الماء والهواء لأنه لا يحتاج الى تغييرات تصميمية كبيرة أضف الى كون مميزاتة الحرارية أفضل بكثير منها للهواء. كما أنه يحسن من أداء المحطة من الناحية الاقتصادية ومن ناحية الاستطاعة. وهذا ما سندرسه في هذا المقال حيث سنبين تأثير التبريد بالهواء والبخار على استطاعة

يعود سرالتطورات الكبيرة التي حققتها العنفات الغازية من الناحية التصميمية الى رفع درجة الحرارة عند مدخل العنفة وبشكل يتناسب مع نسب الانضغاط في الضاغط حيث وصلت درجة الحرارة الى 1400K في المخططات الثابتة والى 1700K في النفاثة وأكثر، والتي تطابق نسب انضغاط تتراوح بين (10-25) {مرعشلي 1986}.

ولكن تحقيق درجات الحرارة المرتفعة تلك لايمكن الوصول اليه الا باستخدام طرق فعالة لتبريد الأجزاء المعرضة للدرجات العالية.

الا أن استخدام الهواء المضغوط المسحوب من الضاغط كوسيط للتبريد يسبب نقصا في الاستطاعة والمردود الذي تعطيه المحطة، مما يقلل من الجدوى الاقتصادية المتوقعة من رفع درجة الحرارة {GELTSEV-1982}.

الهدف من البحث وطريقته،

يهدف البحث للتوصل الى علاقات رياضية بسيطة تمكن نظريا من بيان تأثير تبريد الشفرات على مردود المحطة واستطاعتها. وذلك عند استعمال الهواء كوسيط للتبريد أو لدى استبداله بخار الماء

المحطة ومردودها.

تعطى قيمة العمل الممكن توليده من المحطة غير المبردة بالعلاقة المعروفة:

$$H = (1 + g_T) C_{Pg} \cdot T_3 \left(1 - TT_T^{-\frac{\gamma-1}{\gamma}} \right) \cdot \eta_T - C_{Pa} \cdot T_1 \frac{TT_c^{\frac{\gamma-1}{\gamma}}}{\eta_c} - 1$$

والانضغاط في الضاغط η_c, η_T المردود

الايذونتروني للعنفه والضاغط على التوالي.

سنرمز الى $\frac{\gamma-1}{\gamma}$ بـ m .

أما قيمة العمل الممكن توليده من

المحطة عند تبريدها بالهواء المضغوط

فيساوي:

حيث g_f - الاستهلاك النوعي للوقود

في المحطة (استهلاك الوقود منسوباً الى

تدفق الهواء الكلي).

C_{pg}, C_{pa} - الحرارة النوعية تحت

ضغط ثابت للهواء والغازات T_1, T_3

درجتي حرارة الغازات عند مدخل العنفه

والهواء عند مدخل الضاغط.

TT_c, TT_T - نسبتي التمدد في العنفه

$$H_c = (1 + g_f - g_a) \cdot C_{Pg} \cdot T_3 (1 - TT_T^{-m}) \eta_T - C_{Pa} \cdot T_1 \cdot \frac{TT_c^m - 1}{\eta_c} - \Delta H_T + g_T \Delta H_c \quad (2)$$

حيث g_a - التدفق النسبي لوسيط

التبريد (نسبة تدفق الهواء المسحوب للتبريد

الى تدفق الهواء الكلي المار عبر الضاغط).

ΔH_T - الضياعات الترموديناميكية

للعمل ΔH_c .. العمل الناتج عند تمدد وسيط

التبريد في العنفه.

تعتبر الضياعات الترموديناميكية قسماً

من كمية الحرارة المسحوبة من الغاز

والمقدمة الى وسيط التبريد q_c ويتم حسابها

بالعلاقة:

$$\Delta H_T = (1 + g_f - g_a) l \cdot q_a$$

حيث q_a كمية الحرارة في منظومة

التبريد، عامل ضياع العمل والذي كان من

الممكن أن يتحول الى عمل مفيد.

ان كمية الحرارة q_a تتعلق بدرجة

الحرارة T_3 ودرجة حرارة السطح المبرد

T_w وحسابها يتطلب اجراء دراسة تفصيلية

لمنظومة التبريد.

لذلك من الممكن الاعتماد على

(ARCENEV 1978) لتحديد قيمتها كما

في الشكل (1) الذي يعطي قيمتها النسبية

بالعلاقة:

$$T_q = T_3 \frac{n-1}{n} (T_3 - T_w)$$

حيث n عدد صفوف الشفرات المبردة وهي تساوي إلى 1 عندما تكون درجة الحرارة $T_3=1200-1223$ K وإلى 2 عندما $T_3=1290-1323$ K وإلى 3 عندما $T_3=1423-1473$ K تكون .

ان قيمة العمل الناتج عن تمدد وسيط التبريد داخل العنفة ΔH_C يتم حسابه بمساعدة العلاقة:

$$\Delta H_C = C_{Pa} \cdot T_{3a} [1 - TT_a^m] \eta_T^a$$

T_{3a} - درجة حرارة دخول وسيط التبريد إلى العنفة.

TT_a - نسبة انخفاض ضغط وسيط التبريد في العنفة.

η_T^a - مردود عملية تمدد وسيط التبريد في مجرى العنفة.

$$T_{3a} = T_1 \left[1 + \frac{TT_C^m - 1}{\eta_C} + \frac{q_a}{C_p T_1 g_a} \right]$$

$$T_a = \left[\frac{1}{1 - \left\{ \frac{T_3}{T_g} \left[(1 - TT_T^m) \cdot \eta_T \right] \left(1 - \frac{q_a}{C_p T_g} \right) \right\} \frac{1}{\eta_T}} \right]^{\frac{1}{m}}$$

T_1 - درجة حرارة دخول الهواء إلى الضاغط

T_g - درجة حرارة شرطية تساوي

$$\bar{q}_a = \frac{q_a}{C_p (T_3 - T_w)}$$

عامل ضياعات العمل $l = \frac{\Delta H_a}{q_a}$ يمكن

حسابه من العلاقة

$$l = 1 - \frac{C_p (T_4 - T_{4a})}{q_a}$$

حيث T_4 , T_{4a} هما درجتا حرارة الغازات في نهاية عملية التمدد للعنفة المبردة وغير المبردة.

وإذا تم ادخال درجة حرارة اعتبارية T_4 التي عندها تسحب الحرارة T_4 فإنه حسب (ARCENEV.1978) يمكن أن نكتب

$$T_{4a} = T_4 \cdot \text{EXP} \left[1 - \frac{q_a}{C_p \cdot T_g} \right]$$

بالتعويض واجراء تحويل بسيط بمساعدة العلاقات الايزونترونية بين النقطتين 4,3 نجد:

$$l = 1 - \frac{T_4}{T_g} = 1 - \frac{T_3}{T_g} \left[1 - (1 - TT_T^m) \cdot \eta_T \right]$$

أما درجة الحرارة T_q فتساوي

إلى:

وبذلك تصبح قيمة مردود العنفة غير

المبردة:

$$\eta = \frac{H}{Q}$$

$$T_g = T_g - \frac{1}{n}(T_3 - T_w)$$

ان العلاقة الواردة أعلاه تمكن من حساب منظومة التبريد بالهواء للعنفات الغازية ذات الدارة المفتوحة.

كمية الحرارة الناتجة عن احتراق الوقود من حجرة الاحتراق للعنفة غير المبردة.

وقيمته للعنفة المبردة:

$$\eta_a = \frac{H_a}{Q_a} \quad (4)$$

ولدراسة تأثير التبريد على قيمة

الاستطاعة نطرح العلاقة 1 من العلاقة 2

وتقسيم الناتج على 1 أي:

$$\overline{\Delta H_a} = \frac{H_a - H}{H}$$

$$\overline{\Delta H_a} = g_a \frac{\beta}{\phi} \quad \text{فنحصل على}$$

حيث

$$Q = (1 + g_f) C_{Pg} \cdot T_3 - C_{Pa} \cdot T_2$$

أما كمية الحرارة الناتجة عن احتراق الوقود في حجرة الاحتراق للعنفة المبردة فتساوي:

$$Q_a = (1 + g_f + g_a) C_{Pg} \cdot T_3 - (1 - g_a) \cdot C_{Pa} \cdot T_2 \quad (3)$$

T_2 - درجة حرارة الهواء بعد

انضغاطه في الضاغط.

$$B = \left[1 - \frac{C_{Pa} \cdot T_{3a} (1 - \Pi_a^{-m})}{C_{Pg} \cdot T_3 (1 - \Pi_T^{-m})} + \frac{l \cdot q_a (1 + g_f - g_a)}{g_a \cdot C_{Pg} \cdot T_3 \cdot \eta_T (1 - \Pi_T^{-m})} \right] \quad (6)$$

ϕ - عامل العمل المفيد ويساوي الى

H_T ، $\frac{H_a}{H_T}$ العمل الناتج عن تمدد الغازات

في العنفة.

Π_a - نسبة الانضغاط لوسيط التبريد

q_a كمية الحرارة المطروحة نتيجة للتبريد l

عامل ضياع العمل.

η_T - مردود العنفة.

بالعلاقة:

$$\overline{\Delta H}_a = 1,3 \cdot g_a \quad (7)$$

أي أن سحب 1% من الهواء المضغوط يسبب نقصا في الاستطاعة قدره 1.3%. وهذا ما يمكن ملاحظته من الشكل (3) الذي يعطي الفرق بين عمل المحطة المبردة بالهواء والمحطة غير المبردة. أما لتقدير تأثير التبريد بالهواء على المردود فسنستخدم نفس الطريقة المذكورة أعلاه:

$$\overline{\Delta \eta}_a = \frac{\eta - \eta_a}{\eta} = g_a \cdot A \quad (8)$$

حيث A عامل يساوي الى

$$A = \frac{(1 - TT_T^{-m} \cdot B \cdot \eta_T / \eta_a^a - \left[1 - \frac{C_{Pa}}{C_{Pg}} \left(1 + \frac{TT_C^m - 1}{\eta_c} \right) K \right]}{(1 + g_f - g_a) \left[1 - \frac{C_{Pa}}{C_{Pg}} \cdot \tau \left(1 + \frac{TT_C^m - 1}{\eta_c} \right) \left(\frac{1 - g_f}{1 + g_f - g_a} \right) \right]} \quad (9)$$

$$\overline{\Delta \eta}_a = 0,52 \cdot g_a$$

$$\tau = \frac{T_1}{T_3} \quad \text{حيث}$$

تدل هذه العلاقة على أن سحب 1% من الهواء المضغوط للتبريد يسبب زيادة في استهلاك الوقود قدره 0.52% أو انخفاضا في المردود يساوي لتلك القيمة.

مما سبق نلاحظ أن هناك تناسبا طرديا

ملاحظة: الحرف الصغير الملحق

بكل رمز يشير الى: a

للحرف T - للعنفة، g -

للغاز، C - للضاغط.

عندما تزداد درجة الحرارة T_3 بتزايد

نسبة الانضغاط TT_C خطيا (وهو التغير

الملاحظ في أغلب المحطات الغازية) نجد أن

قيم العاملين β و φ تبقى ثابتة

تقريبا (الشكل 2) فعند الحسابات التقديرية

لتأثير الهواء المسحوب من الضاغط للتبريد

على استطاعة المحطة يمكن أخذ قيمة العامل

B بحدود 0,64 و $\varphi = 0,48$ ففي هذه

الحالة يمكن تقدير ضياعات الاستطاعة

لقد دلت الحسابات التي أجريت على

قيمة العامل A أن تغييره طفيف مع تغير

درجة الحرارة T_3 الشكل (2) لذلك يمكن

اعتبار قيمته ثابتة وتساوي 0.52 وعليه:

في منظومة التبريد. مثل هذا الوسيط يمكن استخدام بخار الماء مثلا والذي يمتاز بسعة حرارة أعلى منها بمرتين للهواء.

لنسحب مميزات المحطة الغازية المبردة ببخار الماء الذي يمكن توليده ببساطة من مولد بخار أو مرجل يركب بعد العنفة ومن بعدها يدفع البخار الى العنفة بواسطة مجاري خاصة للتبريد.

الاستطاعة النوعية (العمل) للعنفة المبردة بالبخار يعطى بالعلاقة:

$$H_S = (1 + g_f) C_{Pg} \cdot T_3 (1 - \Pi_T^{-m}) \cdot \eta_T^a - C_{Pa} \cdot T_1 \frac{\Pi_C^{-m} - 1}{\eta_C} - (1 + g_f) l \cdot q_a + d \Delta H_C \quad (11)$$

$$Q_S = (1 + g_f) \cdot C_{Pg} \cdot T_3 - C_{Pa} \cdot T_2 \quad (12)$$

لتقدير الزيادة في الاستطاعة الناتجة عن استخدام البخار كمبرد نطرح العلاقة 2 من العلاقة 12 فنجد:

$$\Delta H_S = g_a \cdot C_{Pg} \cdot T_3 (1 - \Pi_T^{-m}) \cdot \eta_T^a \left[1 + \frac{d}{g_a} \frac{T_{3S} (1 - \Pi_a^{-m})}{T_3 (1 - \Pi_T^{-m})} - \frac{C_{Pa} \cdot T_{3a} (1 - \Pi_a^{-m})}{C_{Pa} \cdot T_3 (1 - \Pi_T^{-m})} \right] \quad (13)$$

يساوي:

$$H_T = C_{Pg} \cdot T_3 (1 - \Pi_T^{-m}) \cdot \eta_T^a$$

فتصبح العلاقة بالشكل:

بين كمية الهواء المسحوبة للتبريد وبين انخفاض المردود والاستطاعة هذا يدل على أن الاستمرار بسحب الهواء للتبريد عند درجات الحرارة المرتفعة يسبب نقصا كبيرا في الاستطاعة والمردود مما يؤدي الى تلاشي الزيادة الناتجة عن رفع درجة الحرارة عند مدخل العنفة.

وهذا الوضع دفع الباحثين للتفتيش عن وسيط آخر للتبريد يحافظ على نفس مميزات العنفة دون الحاق تغيرات تصميمية

حيث d - الاستهلاك النوعي لبخار الماء ويساوي الى تدفق البخار المار خلال العنفة منسوبها الى تدفق الهواء الكلي عبر الضاغط.

كمية الحرارة الناتجة عن احتراق الوقود في حجرة الاحتراق تساوي:

إذا رمزنا للقيمة داخل القوس المربع بـ C نجد:

$$\Delta H_S = g_a \cdot C_{Pg} \cdot T_3 (1 - \Pi_T^{-m}) \cdot \eta_T^a \cdot C \quad (14)$$

وبما أن قيمة عمل التمدد في العنفة

وهذا يدل على أن زيادة الاستطاعة تتناسب أيضا مع كمية الهواء المسحوب للتبريد مما يدل على أن استبدال الهواء المضغوط ببخار الماء يعطي ربحا قدره 1.85% لكل 1% من ذلك الهواء. لاحظ الشكل (5) الذي يعطي علاقة الصل بدلالة درجات الحرارة T_3 .

أما الربح في المرود (التوفير في الوقود) فيمكن تقديره بالعلاقة:

$$\Delta H_s = g_a \cdot H_T \cdot C \quad (15)$$

$$\overline{\Delta H_s} = \frac{\Delta H_s}{H_s} = g_a \cdot C \frac{H_T}{H_s} = g_a \frac{C}{\phi}$$

لقد دلت الحسابات على أن قيمة العامل C لا تتغير كثيرا مع تغير درجات الحرارة $T_3=1273-1500$ في المجال K وقيمته تساوي 0.89 أما ϕ فتساوي 0.48 (الشكل 2) ومنه:

$$\overline{\Delta H_s} = 1.85 \cdot g_a \quad (16)$$

$$\overline{\Delta \eta_s} = \frac{\eta_s - \eta_a}{\eta_s} = g_a \left[\frac{(1 - \tau T_T^m) \eta_T \frac{C}{\eta_s} - \left[1 - \frac{C_{Pa} \tau}{C_{Ps}} \left(1 + \frac{T_T^m - 1}{\eta_c} \right) \right]}{(1 + g_f - g_a) \left[1 - \frac{C_{Pa} \tau}{C_{Ps}} \left(1 + \frac{T_T^m - 1}{\eta_c} \right) \left(\frac{1 + g_f}{1 + g_f - g_a} \right) \right]} \right] \quad (17)$$

بالبخار تتناسب مع تدفق وسيط التبريد. أي أن استبدال 1% من بخار الماء بالهواء يعطي وفرا في استهلاك الوقود 0.87%.

يمكن تبديل القيمة داخل القوس المربع بـ D فالعلاقة 17 تصبح

$$\overline{\Delta \eta_s} = D \cdot g_a$$

وقيمة العامل D يمكن افتراضها ثابتة من أجل الحسابات التقريبية ويساوي الى 0.87 الشكل (2) وذلك بعد حساب قيمتها على عدد من المحطات لذلك

$$\overline{\Delta \eta_s} = 0.87 \cdot g_a \quad (18)$$

وتشير هذه العلاقة على أن نسبة التوفير في الوقود نتيجة لاستبدال الهواء

SUMMARY

"Comparison between the characteristics of Gases turbine are cooled by steam and air."

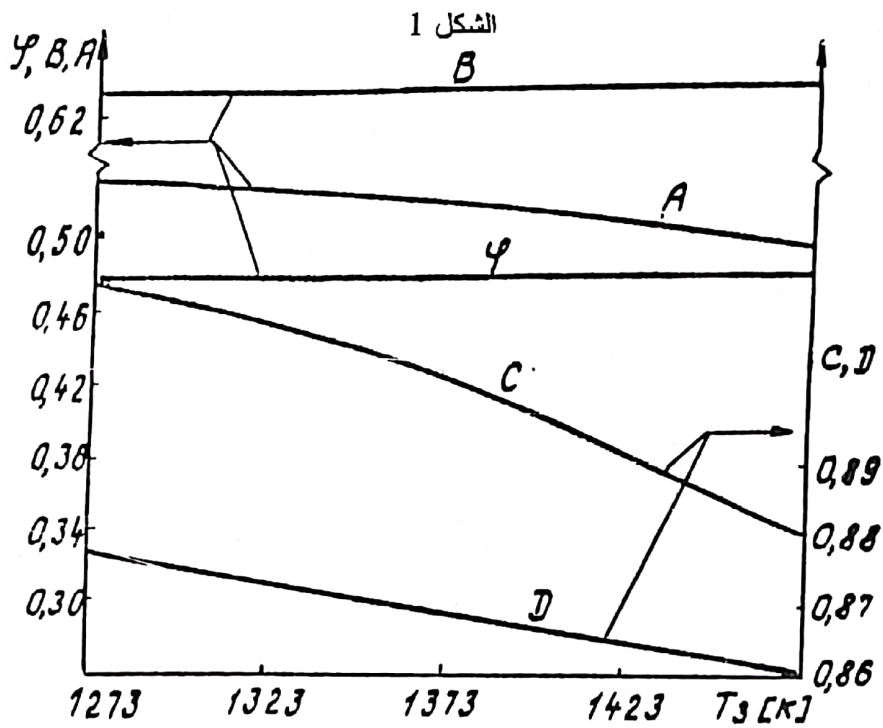
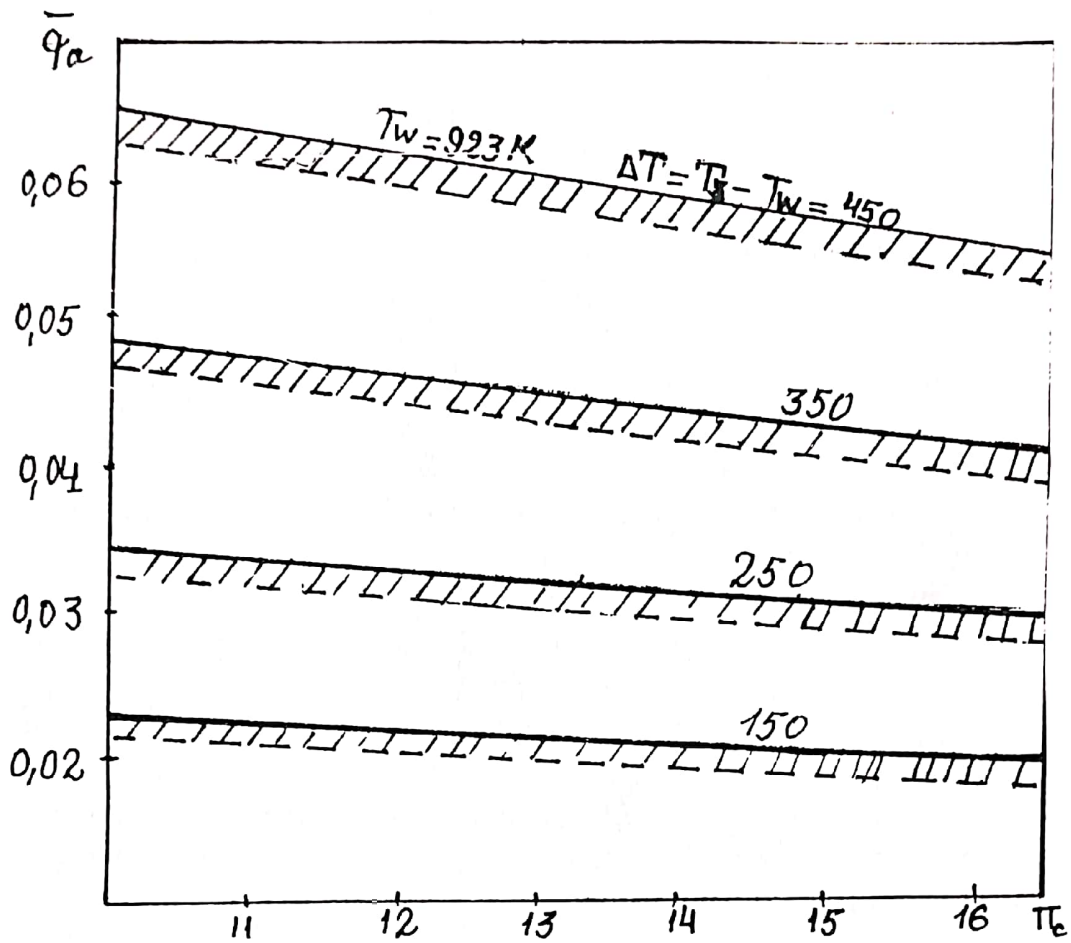
I produce here a theoretical study of gases turbine station characteristics with a blades cooled by steam and air, and comparison between the work and efficiency (ΔT , $\Delta \eta$).

I have calculated the work of the uncooled station and the cooled one with air. I've reached to the difference between the two values of the ΔH , in (1270-1500 K). In the same way I've reached to efficiency.

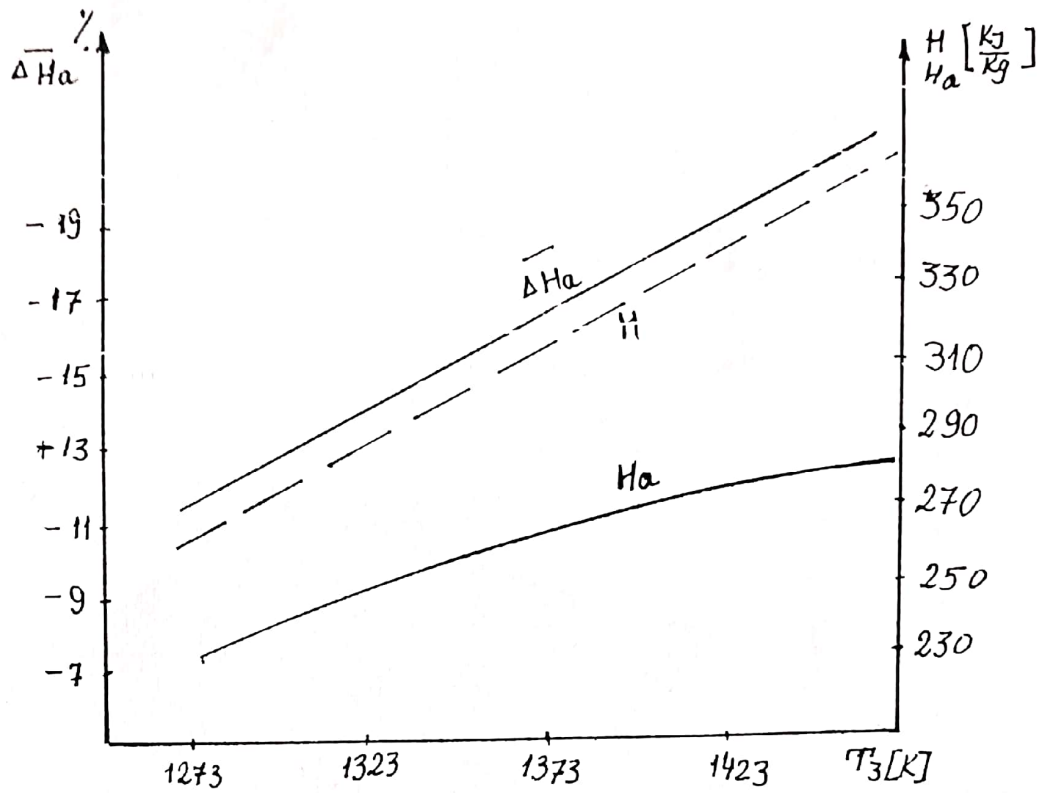
As a result of the above mentioned, pumping of %1 for cooling leads to an increase of consumption of fuel about %,52 and reduce in work %1,3.

I've studied cooling steam for station characteristics and reached to that cooling gives an increase of work %1,85 and an increase of efficiency for %1 cooling steam.

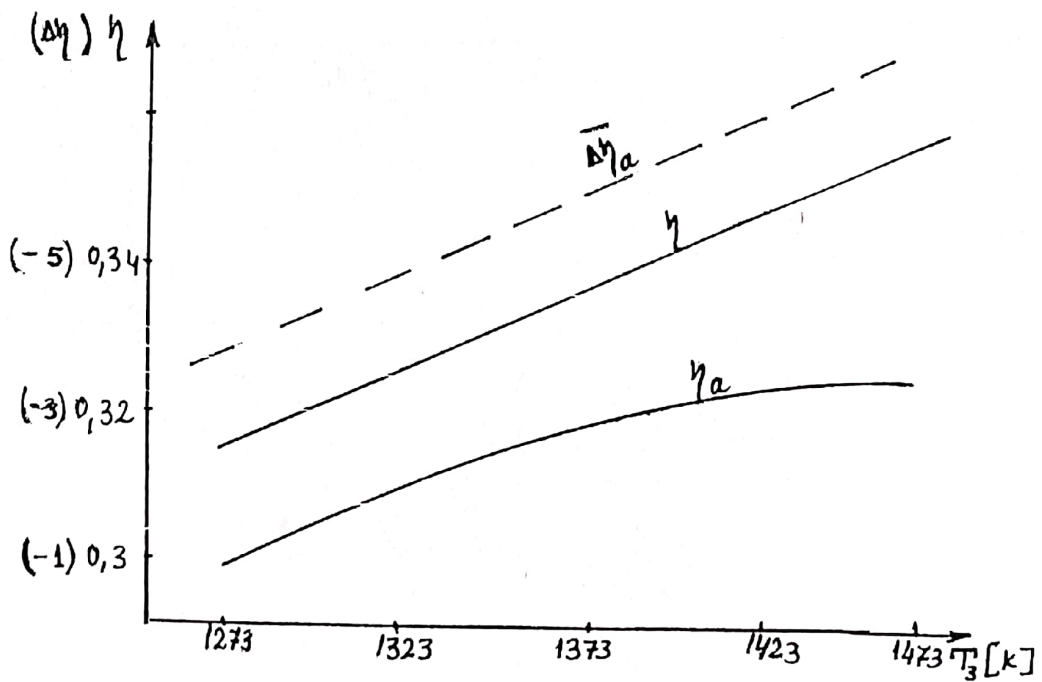
This study gives a direct ability for assuming the effect of cooling by air and steam, also this study produces the ability increasing the gases temperature at nozzle for best work.



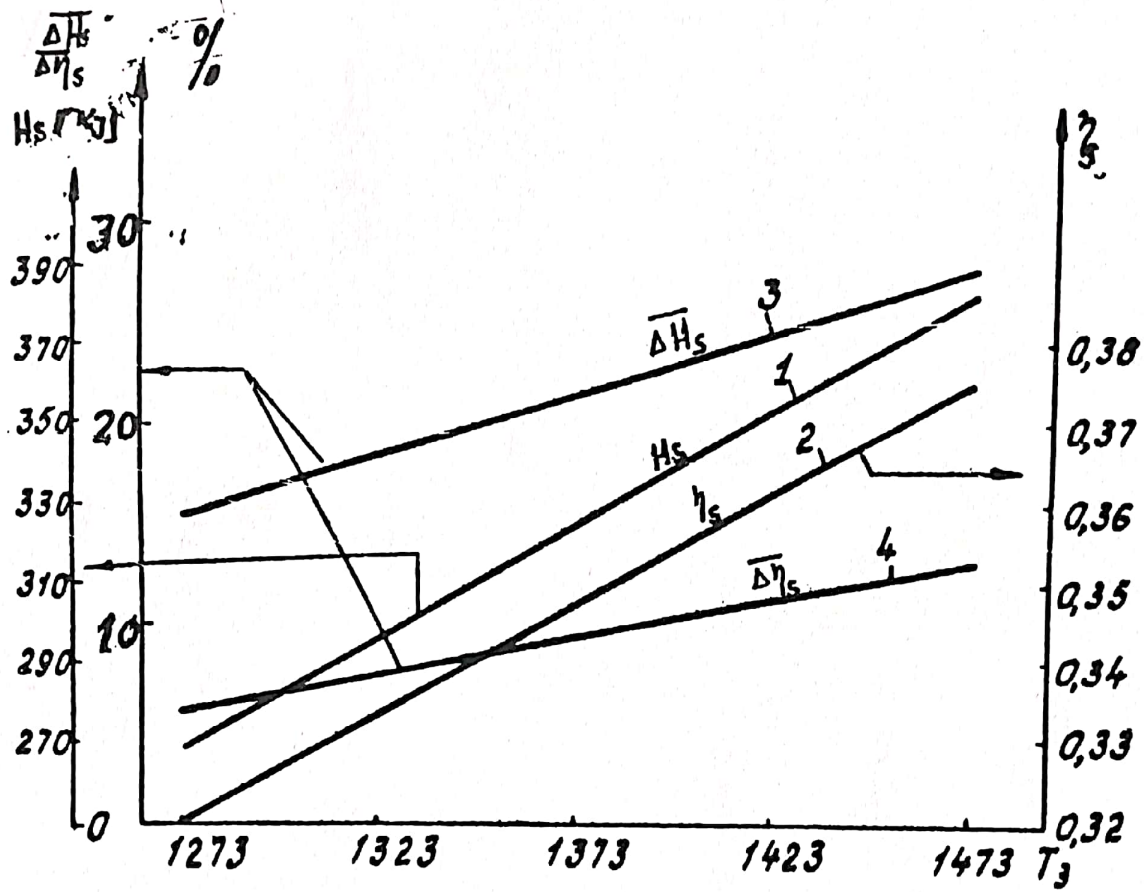
الشكل 2



الشكل 3



الشكل 4



الشكل 5